

炭素による固體酸化鐵の還元反応に及ぼす觸媒の影響

薄田 寛・佐野 幸吉*

EFFECTS OF SOME CATALYZERS ON REDUCTION VELOCITY OF SOLID IRON OXIDE BY CARBON

Hiroshi Susukida and Kokichi Sano

Synopsis: When the mixture of iron oxide and carbon is heated, the following three reactions take place.

- (1) $C + CO_2 \rightarrow 2CO$
- (2) $Fe_2O_3 + 3CO \rightarrow 2Fe + 3CO_2$
- (3) $Fe_2O_3 + C \rightarrow 2Fe + 3CO(CO_2)$

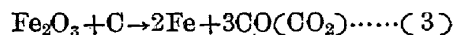
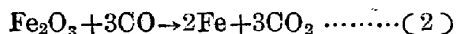
Therefore, it may be easily understood that the one recognized as reduction velocity of solid iron oxide by carbon is equal to the total sum of velocities of above three reactions.

It is a fact of general recognition that the reduction velocity of solid iron oxide by carbon is exceedingly increased by additions of some catalysts such as the salts of alkali and alkali earth metals. However, it has been unable to decide which one of the three reactions mentioned above is effected by the catalysts.

Present authors measured the evolution velocities of the reaction gases in various mode of mixing of catalysts with iron oxide and carbon at constant temperature and obtained the following conclusions; (a) $BaCO_3$ effects to (1) reaction and CaO accelerates (2) or (3) reaction. (b) MgO , TiO_2 , Al_2O_3 , SiO_2 are negative catalysts to the reduction of iron oxide by carbon.

I. 緒 言

炭素による固體酸化鐵の還元反応は製鐵や鐵鋼の脱炭の目的に利用される主なる反応の一つであり、アルカリ金属及びアルカリ土金属の鹽類が共存する場合にその反応速度が著しく促進されることは既に一般によく知られて居る事実である。炭素と酸化鐵とを混合して加熱するときおこると考えられる反応は大要次の如くである。

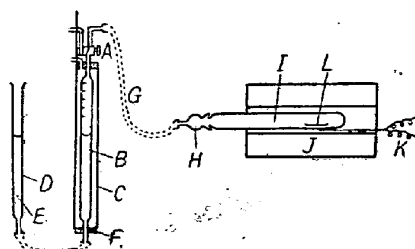


(2) の反応で生成された CO_2 は (1) の反応で CO となり再び還元反応をおこすからこれを間接還元と稱し、これに對して炭素が直接反応する (3) の反応は直接還元と云われて居る。アルカリ金属やアルカリ土金属の鹽類が觸媒作用を持つて居ると云うのは全體の還元率を増大する作用があると云うのであって上述の直接間接の (1), (2) 及び (3) の反応が同時に促進されるものか或はその一方だけが關係するものかは判らないのである。

本研究においてはこの點を明白にし併せて SiO_2 , Al_2O_3 , TiO_2 , MgO 等についても検討することとした。

II. 實驗装置及び操作

實驗装置の概略を圖示すれば第 1 圖の如くである。即ち試料を入れたポートを石英管中に收め、所要一定溫度に加熱した電氣爐に入れ、發生するガス容積の増加を刻々にガスビューレットの読みより知る方法を採つた。ビューレットの容積は 100cc, 目盛は 1/5cc のものを



第 1 圖 實驗装置

* 名古屋大學工學部金屬學科

使用した。室温の變化によるガス容積の變化を可及的に少くする爲に流水マントルを採用し同一グループに属する實驗は同一温度で實施し得る様温度計を付した。實驗は初めに加熱した電氣爐中に反應管を入れ、可及的に速かに反應管の温度を所要温度に達せしめ、反應管内の空氣の膨脹が終了した時のビューレットの読みを0とした。反應時間は2時間半とした。之は接觸剤の効果は反應開始後2時間半位で判然と知り得るからである。

III. 試 料

A 酸化鐵

使用した酸化鐵の種類は次の如くである。

壓延スケール(還元可能酸素 29%)

赤鐵鑄 (27%)

磁鐵鑄 (20%)

酸化第二鐵 (30%)

電氣爐酸化末期スラッグ

貪鐵鑄(大江山産ニッケル鑄)

磁性砂鐵(青森)

B 固態炭素

還元剤としては木炭及びガスカーボンを200mesh以下としたものを夫々密閉器中で1000°Cに焼成して使用した。

C 接觸剤

接觸剤としてはBaCO₃を850°Cに焼成粉粹して200mesh以下としたものを主に使用した。この他CaO, SiO₂, Al₂O₃, TiO₂, MgO並にNa₂CO₃を夫々焼成、200mesh以下に粉粹して用いた。この中CaOは大理石及び沈降炭酸石灰を夫々1000°Cに焼成したものである。

試料、還元剤、接觸剤を混合する場合には常に乳鉢でよく混合しそれを磁性ポートに収めた。又三者の配合に當りては下記の如く六種類に分け、C, D, E, Fの配合の如く分ける場合は第2圖の例で示せる如く一つのポート中にて互に分離して収めた。

配 合 法	
A	Scale+C+BaCO ₃ 酸化鐵、炭素剤、接觸剤を混合せる場合
B	Scale+C 酸化鐵と炭素剤を混合せる場合
C	Scale+(BaCO ₃) 酸化鐵、炭素剤を混合し接觸剤を分離せる場合
D	Scale+(BaCO ₃) 酸化鐵、接觸剤を混合し炭素剤を分離せる場合
E	(Scale)+(C+BaCO ₃) 炭素剤、接觸剤を混合し酸化鐵を分離せる場合
F	Scale+(C) 鐵と炭素剤を分離せる場合

空 訓 駐 合 法	
a	C+BaCO ₃ 炭素剤と接觸剤を混合せる場合
b	(C+BaCO ₃) 炭素剤と接觸剤を分離せる場合
c	C 炭素剤のみの場合

第2圖 試料配合法

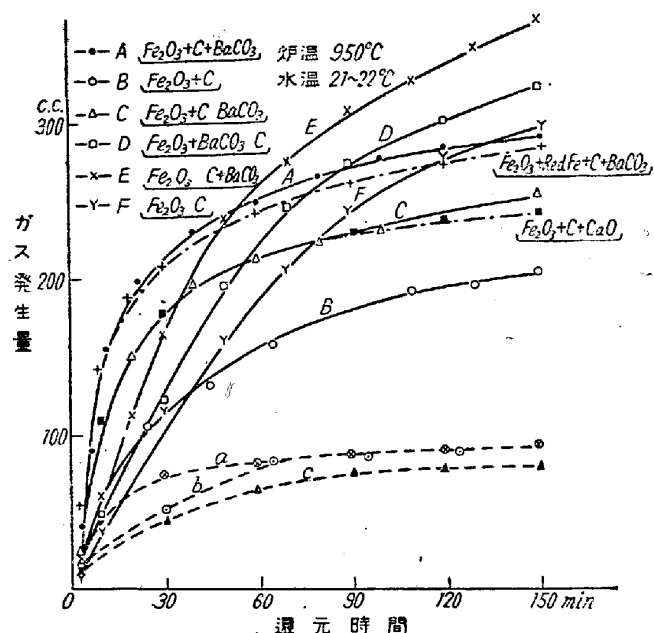
酸化鐵、炭素剤、接觸剤の採取量は次の如く定めた。

酸化鐵	炭素剤(30%)	接觸剤(10%)
Fe ₂ O ₃ 0.6654gr	0.1996gr	0.06654gr
Fe ₃ O ₄ 0.7236gr	0.2171gr	0.07236gr

IV. 實驗結果

[A] 各種酸化鐵の木炭による還元に及ぼすBaCO₃の影響

(1) 赤鐵鑄の場合 温度 950°C (第3圖)



第3圖 赤鐵鑄の木炭による還元に及ぼすBaCO₃の影響

圖に於いてEとFとの曲線を比較してみるとBaCO₃が(1)の反應を促進することにより還元率を著しく増大することが判る。又E, F及びA, Bの各比較を考慮すると(3)の直接還元にも多少効果があるものと考えられる。D, Fの比較やB, Cを考えると(2)の反應にも程度は少いが影響はある。酸化鐵と木炭とからよく混合してあるA, B, Cと兩者を別々にしてあるD, E, Fとでは曲線の傾斜を相違しておるがこれは全體の還元速度を支配している反應段階を異にするものと考えられる。いずれにしても酸化鐵、木炭、BaCO₃を混合するときは初期還元は著しいが間もなく速度は低下して結局酸化鐵と木炭及びBaCO₃の混合物を分離した場合にはるかに及ばないのである。Aの酸合にて還元率10%を加えた場合を行つたが、圖示せる如くその影響は殆ど認められず、A曲線と同様の過程を示した。又Aの配合にてBaCO₃の代りにCaOを添加した場合を示したが、その効果はBaCO₃より低い。尙空試験はa, b,

其一時間後には殆ど一致し、木炭のみの場合と大差はない。

(2) 磁鐵礦の場合 溫度 950°C

此の場合は(1)と殆ど同様の結果を生じているが之は 200mesh 以下に粉碎して實驗した爲めに大差がなかつたと考えられる。

(3) 壓延スケールの場合 溫度 950°C

此の場合も(1), (2)と殆んど同様の傾向を示している。E, D, F の A, C, B に対する傾向は前二者の場合より更に著明なる結果が得られた。

(4) 酸化第二鐵の場合 溫度 950°C

反應速度の速い場合として實驗室で製造した酸化第二鐵を 800°C にて 2 時間焙燒し木炭により還元した。この場合にもやはり(E, D, F) 群と(A, C, B) 群とは前述の如き傾向がみられるが、各々の差は顯著でない。かくの如く反應速度が大なる場合には BaCO₃ の効果は餘り著しくはない。

(5) 壓延スケールの場合 溫度 1050°C

此の場合は溫度を 100°C 上昇させた爲全般的に反應速度は大で(A, C, B) 群と(E, D, F) 群との傾向は前述の通りであるが、2 時間半の後に於ては A, D, E, F の差は著しくないのが見られる。

(6) 壓延スケールの場合 溫度 850°C

溫度 850°C に於ては反應速度極めて遅く、A 及び E は殆ど同様の傾向を示し大差ないが、之等と B, C, D, F とは著しい相異を示している。而して B, C, D, F 相互間には餘り差がない。

則ち BaCO₃ が CO₂+C→2CO の反応に及ぼす影響だけが見られるのである。

[B] 各種酸化鐵のガスカーボンによる還元に及ぼす BaCO₃ の影響

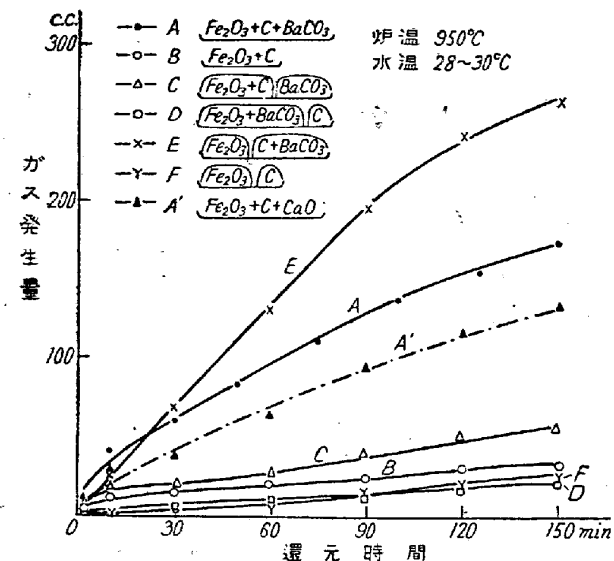
(1) 赤鐵礦の場合 溫度 950°C (第4圖)

各種炭素剤の中最も活性度の低いガスカーボンを使用したが、此の場合は木炭による場合とかなり状況を異にし、ガス発生量は全般的に著しく減少し、各曲線相互間も又傾向が相異している。即ち、A の場合、木炭による場合の如く初め 30 分間に見られた急激なガスの発生は見られず、ゆるい速度で殆ど直線的に増加し E と大體同様な反應機構が推察せられる。

即ち BaCO₃ は C+CO₂→2CO を促進することにより還元率を増加するものであり他の併用は極めて弱いものと云はなければならない。

(2) 壓延スケールの場合 溫度 950°C

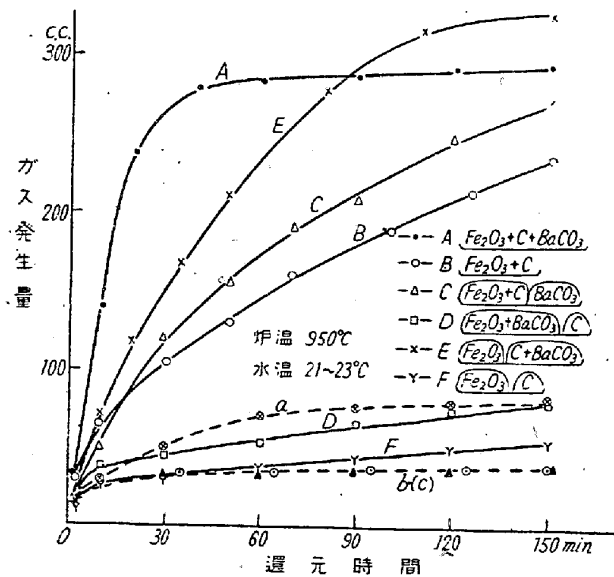
此の場合は(1)の場合と殆ど同様の結果を示してい



第4圖 赤鐵礦のガスカーボンによる還元に及ぼす BaCO₃ の影響

る。

(3) 酸化第二鐵の場合 溫度 950°C (第5圖)



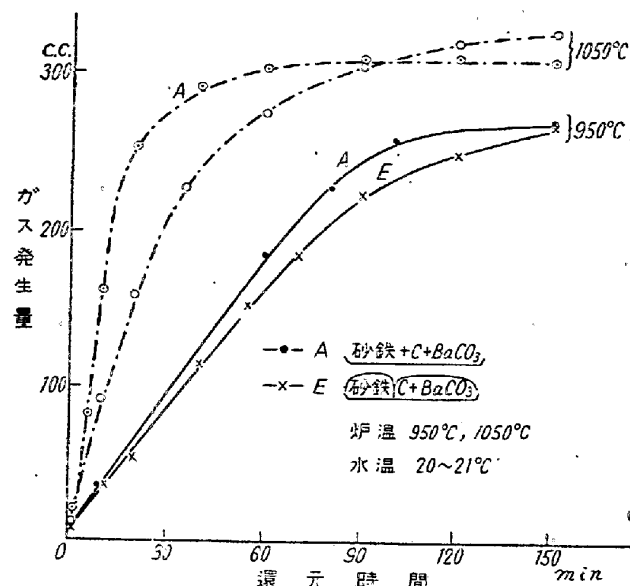
第5圖 酸化第二鐵のガスカーボンによる還元に及ぼす BaCO₃ の影響

この場合は(1)(2)に比較して反應は甚だ活潑である。A の場合、初めの 30 分間に急激にガスを発生し、以後は殆ど発生しないが、やはり BaCO₃ の効果が見られる。又 E は途中にて A を上廻る結果となることは木炭の場合の傾向と同様である。C, B は第2圖に示した如く A と同様の傾向を示すことなく、略直線的に増加している。之に反して D, F に於てはガス発生量極めて少く、殆ど還元に與らぬよう見える。此の事より BaCO₃ の効果はやはり C+CO₂→2CO の反応に對して顯著なることが分る。

(4) 壓延スケールの場合 溫度 1050°C

此の場合は(3)の場合より、全部が稍々上廻つてゐるのみで他は殆ど同様の傾向を示している。

[O] 接觸剤 BaCO_3 を酸化鐵と木炭に混合せる場合 (A) と木炭のみに混合して酸化鐵と分離せる場合 (E) との比較—他種の酸化鐵の場合

(1) 砂鐵の場合 溫度 950°C , 1050°C (第6圖)

第6圖 砂鐵の木炭による還元に於ける BaCO_3 の影響

溫度 950°C の場合、A と E とは殆ど差なく 2 時間半後には略一致した結果となるが、この反應時間内では E が上廻る結果とはならない。A, E 共に約 1 時間半迄は殆ど直線的に變化している。之に對して溫度 1050°C の場合は途中で E が A を上廻るが結果に於て大した差は認められない。然しながら溫度 1000°C の影響はかなり大である。

(2) 貧鐵鑄の場合 溫度 1050°C

含鐵量の少い貧鐵として大江山産ニッケル鑄を選んだが E が途中で A を上廻る結果となる。

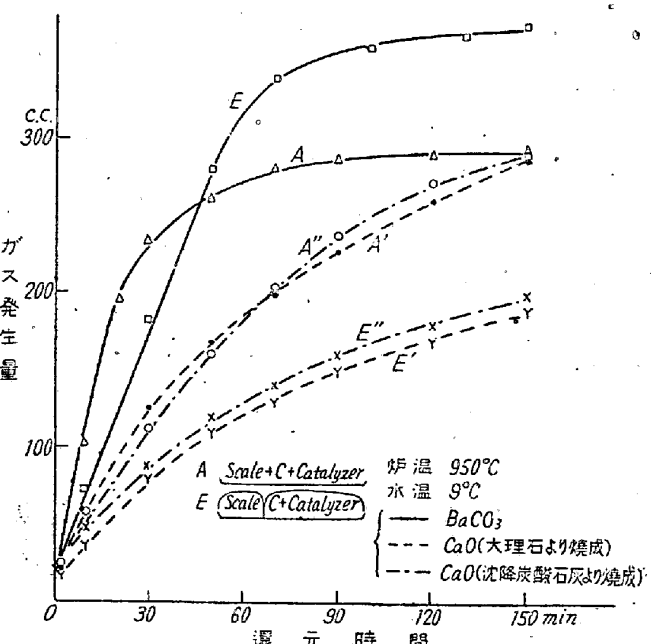
(3) 酸化末期スラッグの場合 溫度 950°C

約 20 分にして E が A を上廻る結果となるが、約 1 時間後には兩者共一定値を示してをり、又兩者の差は僅小である。

以上種々の酸化鐵を採つて A, E を比較したが、結局何れの場合に於ても A が急激にガスを發生し、以後殆ど横匂い状態になるのに對して、E は初めの速度は遅いが中途にて A を上廻る結果を示すのが見られる。次に酸化鐵と木炭又はガスカーボンを混合せる場合 (B) と分離せる場合 (F) とを比較すると、木炭を使用した場

合、溫度 950°C に於ては初め B の方がガス發生量が多いが、途中にて F の方が B より大となる。

然し溫度 850°C に於ては B の方が F より若干上廻る結果となる。之に對してガスカーボンを使用した場合は混合せる場合 (B) の方が分離せる場合 (F) より上廻つて居る。これ等の關係を考えあわせると酸化鐵の還元反応が大きくて初期に金屬鐵が急速に生成されると考えられる場合には還元率を上昇せしめるために酸化鐵と炭素と BaCO_3 の三つを混合することは却つて不利があることが判る。

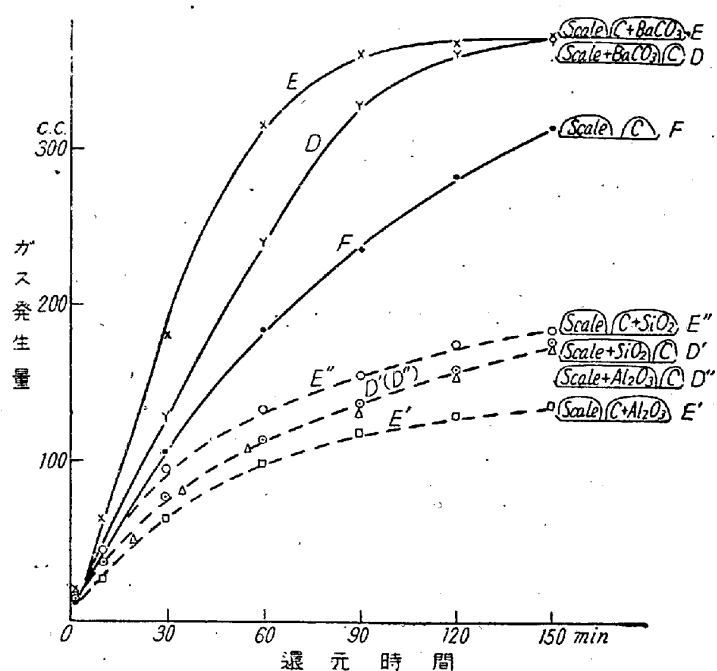
[D] 壓延スケールの木炭による還元に及ぼす CaO , Al_2O_3 , SiO_2 , Na_2CO_3 の影響(1) CaO を用いた場合 溫度 950°C (第7圖)

第7圖 壓延スケールの木炭による還元に於ける BaCO_3 と CaO との影響の比較

第7圖に於て點線で示したのは大理石を 1050°C にて焼成せるもの、鉛線で示したものは沈降炭酸石灰を 1050°C にて焼成せるもので、之等を比較検討した。此の場合 A と E を比較するに CaO を用いた場合は BaCO_3 を用いた場合と異なり、A の方が E よりかなり上廻る結果を示し、又用いた CaO の種類によつては殆んど大差はない。A に於ては CaO の接觸効果が見られるが、E に於ては CaO の効果は表はれず、反つて CaO を加えない場合より低い結果を示している。之より BaCO_3 と CaO との接觸作用が機構的に相異していることが分る。即ち BaCO_3 が $\text{C} + \text{CO}_2 \rightarrow 2\text{CO}$ に對して極めて効果的に作用するのに對し、 CaO は $\text{C} + \text{CO}_2 \rightarrow 2\text{CO}$ に對しては却つて負觸媒として作用し $\text{Fe}_2\text{O}_3 + \text{CO} \rightarrow \text{Fe} +$

CO_2 又は $\text{Fe}_2\text{O}_3 + \text{C} \rightarrow \text{Fe} + \text{CO}_2$ に對して効くものと考えられる。

(2) $\text{Al}_2\text{O}_3, \text{SiO}_2$ を用いた場合 溫度 950°C (第 8 圖)



第 8 圖 壓延スケールの木炭による還元に及ぼす $\text{BaCO}_3, \text{Al}_2\text{O}_3, \text{SiO}_2$ の影響

BaCO_3 の代りに Al_2O_3 及び SiO_2 を入れたる場合は何れの場合も反つて還元率の低下を示した。即ち第 8 圖に示した如く E の配合では SiO_2 が Al_2O_3 より若干上廻り、D の配合では兩者殆ど一致した結果を示したが、之等はすべて何も添加しない B の場合より遙に下廻っている。

(3) Na_2CO_3 を用いた場合 溫度 950°C (第 9 圖)

圖示せる如く、その接觸効果は BaCO_3 より更に大であるが、大體同一傾向を示して居り、 BaCO_3 と同様の効果をなすものであることが分る。

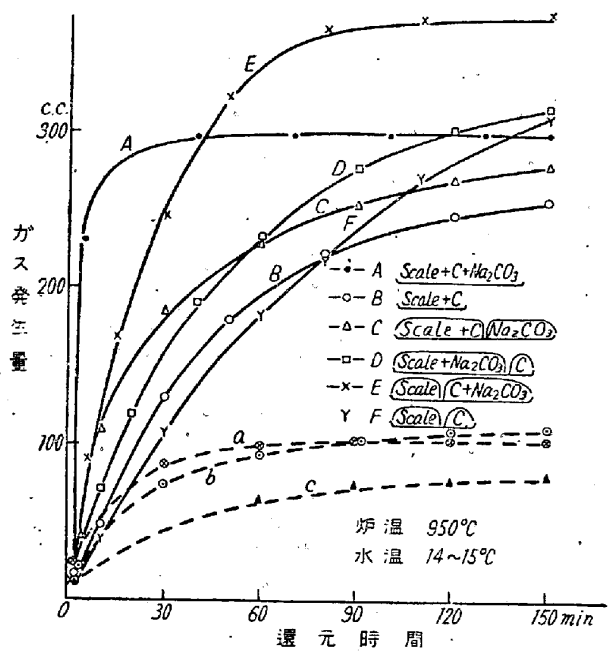
(E) 壓延スケールのガスカーボンによる還元に及ぼす $\text{CaO}, \text{TiO}_2, \text{MgO}$ の影響 溫度 1050°C (第 10 圖)

此の場合 TiO_2, MgO 共に還元率を低下する。即ち何も加えない場合よりも著しく、負に働いているのが見られる。又 CaO は A の場合はその接觸効果著しく BaCO_3 の A の場合より上廻るが之に反し CaO の E の場合はその接觸効果は認められない。 CaO の接觸作用に就いては前述同様に解し得る。

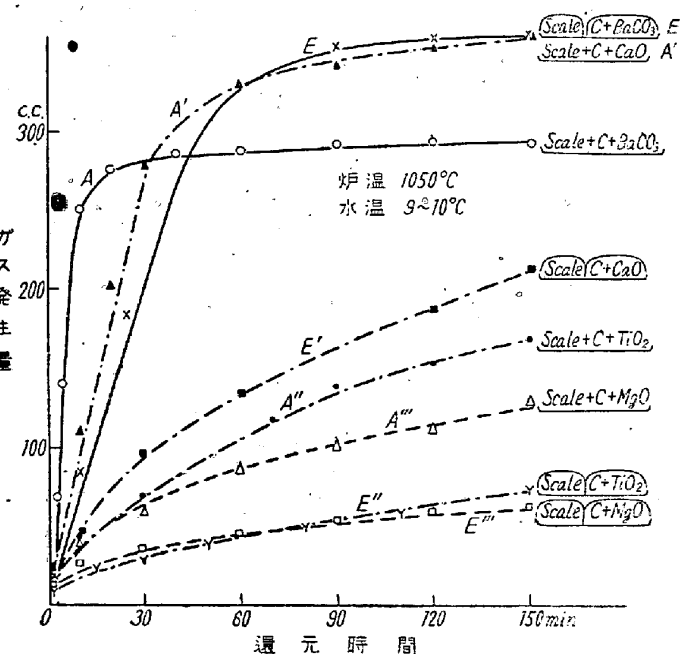
(F) 壓延スケールの炭素剤による還元に及ぼす BaCO_3 の量の影響

(1) 木炭を使用せる場合 溫度 950°C

壓延スケールに對し BaCO_3 5%, 10%, 20%, 30% を入れて實驗した。第 11 圖(紙面の都合により圖省略)



第 9 圖 壓延スケールの木炭による還元に及ぼす Na_2CO_3 の影響



第 10 圖 壓延スケールのガスカーボンによる還元に及ぼす $\text{BaCO}_3, \text{CaO}, \text{TiO}_2, \text{MgO}$ の影響

に示した如く BaCO_3 はその量を増すにつれて初めのガス發生率は上昇するが約 1 時間半後には殆ど相互間の相異は認められない。即ち試料の 10% 程度でその接觸効果は充分に表れるものと考えられる。

(2) ガスカーボンを使用せる場合 溫度 950°C

此の場合は壓延スケールに對し BaCO_3 10%, 20%, 30% を入れて實驗した。ガスカーボンの場合も、やはり

BaCO_3 の量を増すにつれ夫々相應せる効果があるが、大差はない。而して各曲線の傾向は殆ど直線的になり木炭の場合と著しく相違している。(第 12 図省略)

[G] 壓延スケールの木炭による還元に及ぼす木炭の量の影響 溫度 950°C

壓延スケールに對し、20%, 30%, 40%, 60% の木炭を夫々加えて實驗した。第 13 圖(省略)に示した如く木炭はその量を増すにつれ、夫々その量に相應せる効果がある。例えは木炭 60% を加えた場合は木炭 20% の場合の約 2 倍のガス發生量をみる。炭素剤の分量は凡そ被還元物に對して 30~40% 程度が適當と考えられるが木炭 30% の場合に BaCO_3 添加の影響が顯著に表われる。即ち木炭 40% の場合を試みた結果によれば、木炭 30% の場合に比し (A, B, C) 群はガス發生速度が若干大となるが (D, E, F) 群は反つて少く表われ、各配合の差異は餘り大した變化が見られなかつた。

[H] 木炭の作用に對する還元鐵の影響 溫度 950°C

第 14 圖(省略)に示した如く還元鐵の影響は殆ど認められないものと考えられる。即ち還元鐵を木炭及び BaCO_3 と種々配合を變えて實驗したが、殆ど各曲線共に一致した結果を示している。尙第 3 圖 A の場合に於て還元鐵 10% を加えて試みた結果によつても鐵分の存在が還元率に好影響を及ぼす結果は得られなかつた。

V. 總 括

固態炭素による酸化鐵の還元に就いての以上の實驗より次の結論を得た。

(1) 酸化鐵の固態炭素による還元に於ては、何れの場

合に於ても BaCO_3 の還元率促進作用が著しく現れた。その主な原因としては主として $\text{C} + \text{CO}_2 \rightarrow 2\text{CO}$ 反応が BaCO_3 の接觸作用により促進せられ結局還元反応を速めるものと考えられる。

(2) 一般に何れの酸化鐵の還元に於ても酸化鐵、炭素剤及び BaCO_3 の三者全部混合せるものは最初急激にガスが發生するが一定時間後には炭素剤に BaCO_3 を混合したものと酸化鐵とを分離した場合の方がガス發生量即ち還元率が大となる。

(3) CaO の添加は反應速度を促進するが、その効果は BaCO_3 程著しくなく、且その接觸作用は BaCO_3 のそれと機構を異にし、 CaO の場合は $\text{Fe}_2\text{O}_3 + \text{CO} \rightarrow \text{Fe} + \text{CO}_2$ 又は $\text{Fe}_2\text{O}_3 + \text{C} \rightarrow \text{Fe} + \text{CO}(\text{CO}_2)$ なる還元反応に對して主に作用するものと考えられる。

(4) Al_2O_3 , SiO_2 , TiO_2 , MgO の添加は何れも還元率を低下する。

(5) 木炭を使用せる場合、 BaCO_3 はその量を増加するにつれ、初のガス發生率は上昇するが 1 時間後には殆んどその差は認められない。即ち試料の 10% 程度で接觸効果は充分に現れるものと考えられる。ガスカーボンを使用せる場合は夫々その量に相應せる効果がある。

(6) 木炭はその量を増すにつれ夫々その量に相應せる効果があるが、その量は被還元物に對して 30% の場合に BaCO_3 添加の効果が顯著である。

(7) 溫度の影響はかなり顯著にして、溫度上昇せる毎に夫々相應せる還元率の上昇が見られる。

(8) 還元鐵の存在は還元率に影響を及ぼすことはない。

(昭和 25 年 11 月寄稿)